



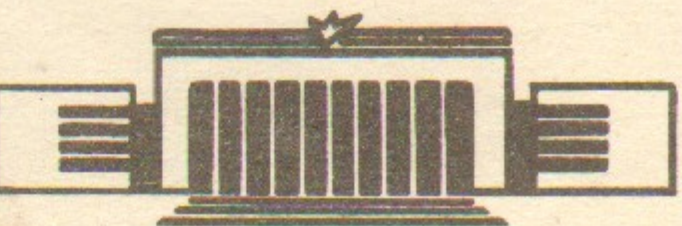
ИНСТИТУТ ЯДЕРНОЙ ФИЗИКИ СО АН СССР

15

В.М. Аульченко, Д.К. Весновский,
Г.М. Казакевич, И.Ю. Редько, Ю.В. Усов.

ЗАРЯДОЧУВСТВИТЕЛЬНЫЕ УСИЛИТЕЛИ
ДЛЯ СЦИНТИЛЛЯЦИОННЫХ И
ПОЛУПРОВОДНИКОВЫХ СПЕКТРОМЕТРОВ

ПРЕПРИНТ 84—25



НОВОСИБИРСК

Достоинства усилителей, чувствительных к заряду (ЗЧУ), при традиционном их использовании с полупроводниковыми детекторами (ППД) общеизвестны. В последние же годы все больше вырисовывается тенденция использования ЗЧУ с более широким набором детекторов. Так, например, ЗЧУ с успехом используются для усиления сигналов с пропорциональных камер с линиями задержки. Широкое применение находят ЗЧУ для усиления сигналов с фотодиодов (вакуумных или полупроводниковых) при использовании последних вместо ФЭУ с кристаллами $\text{NaJ}(\text{Tl})$, BGO [1]. При традиционном использовании ЗЧУ для спектроскопии его качество определяется в основном величиной шумового заряда $Q_{\text{шум}}(0)$ при нулевой входной емкости ($C_{\text{вх}}=0$) и зависимостью $dQ_{\text{шум}}/dC_{\text{вх}}$. При новом использовании не менее важное значение имеет такой параметр, как длительность переднего фронта сигнала ЗЧУ и ее зависимость от $C_{\text{вх}}$. Это связано с тем, что сигналы с ЗЧУ должны использоваться при формировании быстрого триггера с высоким временным разрешением, способного работать при загрузках 10^6 с^{-1} .

Еще одно отличие заключается в выборе параметров формирующих фильтров. При использовании ЗЧУ в спектрометрических измерениях в случае малых загрузок параметры фильтров выбираются в соответствии с условием получения максимального отношения сигнал/шум с учетом дисперсии времени сбора заряда. Оптимум для пассивных фильтров с простыми интегрирующими и дифференцирующими цепями в реальных случаях достигается при равных постоянных времени

$$\tau_D = \tau_i = \tau_0 \gg \tau_z,$$

где τ_z — время сбора заряда; постоянная τ_0 определяется из условия:

$$\tau_0 = C_{\text{вх}} \sqrt{v/a}.$$

Здесь v — параметр, определяющий последовательные шумы; a — параметр, определяющий параллельные шумы. Физический смысл оптимизации заключается в выравнивании вклада параллельных и последовательных шумов. Значение τ_0 лежит в пределах от нескольких единиц до нескольких десятков микросекунд в зависимости от типа применяемого детектора.

При использовании ЗЧУ в составе аппаратуры больших детекторов типа [2, 3], работающих в режиме запуска сигналами системного триггера, часто не удается реализовать условия оптимальной фильтрации, поэтому выгодно использовать в измерительных трактах системы выборки и хранения, являющиеся, по-существу, активными фильтрами.

В настоящей работе описываются два ЗЧУ: усилитель—1 и усилитель—2.

Усилитель—1 проектировался для получения наилучшего энергетического разрешения при оптимальной фильтрации для детекторов (ППД и вакуумных фотодиодов) с емкостью $\lesssim 10$ пФ, работающих при загрузках $\lesssim 10^4$ с $^{-1}$. Это вызвало необходимость применения специальных мер в конструкции входного каскада и использования резисторов смещения величиной ~ 1 ГОм.

Усилитель—2 проектировался с учетом перечисленных выше требований к высокой загрузочной способности, получения переднего фронта сигнала порядка единиц наносекунд и минимальных значений $dQ_{\text{шум}}/dC_{\text{вх}}$.

Высокие загрузки требуют уменьшения времени выборки и хранения информации до величины $\lesssim 1$ мкс, при этом начинают доминировать последовательные шумы и применение резисторов смещения > 10 МОм становится нецелесообразным.

Конструкция и схемы усилителей

Усилитель—1 состоит из двух секций: зарядочувствительной, определяющей в основном шумовые и временные характеристики предусилителя, и формирующей, которая позволяет получить квазигауссову форму выходного сигнала с дополнительным усилением.

Зарядочувствительная секция (рис. 1) представляет собой усилитель с полевым транзистором на входе (КП307Ж), отобранным по току затвора ($< 10^{-12}$ А) и крутизне ($S_0 \sim 3,5$ мА/В) и включенным по схеме с общим истоком. Нагрузкой каскада является генератор тока V_2 . Дальнейшее усиление сигнала по току осуществляется каскадом на V_3 и V_4 , включенным по схеме ОК—ОБ. Нагрузкой этого каскада является генератор тока на V_5 . Через истоковый V_6 и эмиттерный V_7 повторители сигнал подается на цепи обратной связи R_1C_1 и выходной согласующий каскад V_8 , V_9 . Входной полевой транзистор и сопутствующие элементы цепей смещения, обратной связи и входной цепи тестового генератора

размещены в блоке из фторпласта с контактными гнездами. Емкостями обратной связи C_1 и калибровочной C_k служат медные штырьки, впрессованные во фторпластовый блок. Остальные элементы усилителя смонтированы на стеклотекстолитовой плате.

В соответствии с рекомендациями [4] размещение элементов V_1 , C_1 , R_1 и выбор размеров экранирующего кожуха сделаны согласно условию минимизации паразитных емкостей.

Формирующая секция усилителя состоит из активного фильтра на микросхеме 544УД2 с параллельной обратной связью и одной пассивной интегрирующей RC цепью [5]. Имеется цепь однократного дифференцирования с компенсацией «полюса нулем» и выходной каскад для подключения низкоомной нагрузки.

В усилителе—2 (рис. 2) все элементы размещены на одной стеклотекстолитовой печатной плате размером 35×55 мм 2 . Такая конструкция весьма технологична и наиболее приемлема для систем с большим числом каналов. Собственно зарядочувствительная секция собрана на транзисторах V_1 — V_5 . На входе используются два полевых транзистора, включенных параллельно и отобранных по току стока и крутизне ($S_0 \sim 5$ мА/В). Транзистор V_3 , включенный эмиттерным повторителем, и V_4 , включенный по схеме с общей базой, совместно с эмиттерным повторителем V_5 обеспечивают большой коэффициент усиления при разомкнутой петле обратной связи. Выходной каскад V_6 представляет собой эмиттерный повторитель, позволяющий работать на низкоомную нагрузку. Транзистор V_7 является генератором тока, питающим усилительную часть и одновременно ее нагрузкой.

Измерение зависимости величины шума и длительности фронта от емкости входной цепи

Величина $\sigma_{\text{шум}}$ для усилителя—1 определялась по амплитудному распределению сигналов при подаче на вход импульсов от генератора стабильной амплитуды. Спектр сигналов измерялся при $t_0 \sim 4,5$ мкс. На рис. 3 приведены зависимости $\sigma_{\text{шум}}$ и $\tau_{\text{фр}}$ от входной емкости при двух значениях емкости обратной связи.

При проведении измерений с усилителем—2 использовались две его модификации—2а и 2б. Модификация 2а, отличающаяся от модификации 2б отсутствием транзистора V_3 , широко используется в аппаратуре детекторов МД-1 и НД. Результаты измерения зависимости $\tau_{\text{фр}}$ от $C_{\text{вх}}$ для обеих модификаций даны на рис. 4. Там же представлена зависимость $\sigma_{\text{шум}}$ ($C_{\text{вх}}$), измеренная по ши-

рине шумовой дорожки [6] в полосе частот 0—100 МГц. Как видно из рис. 4, добавление транзистора V_3 кардинально улучшает фронт сигнала на выходе зарядочувствительной секции, но одновременно увеличивает $\sigma_{\text{шум}}$ и $dQ_{\text{шум}}/dC_{\text{вх}}$ за счет вклада последовательных шумов. Необходимо заметить, что измерение $\sigma_{\text{шум}}$ на анализаторе амплитуды при $\tau_0 \sim 1$ мкс (подобно измерениям, проведенным с усилителем—1) дает близкие значения $\sigma_{\text{шум}}$ для обеих модификаций усилителя—2: $\sigma_{\text{шум}}(0) \sim 530$ ед. заряда.

В реальной работе усилители проверялись с вакуумными приемниками, которыми служили фотоумножители ФЭУ-139, включенные фотодиодами, и фотодиоды, специально изготовленные на базе фотоумножителей. Фотодиоды имели фокусирующую систему, подобную применяемым в жалюзных ФЭУ; диаметр рабочей части фотокатода составлял 40 мм. Источниками света служили сцинтилляторы NaJ(Tl) размером 40×40 мм, 110×50×300 мм и BGO размером 40×5 мм. Первоначально входной сигнал снимался с динодной системы фотоприемника, соединенной с фокусирующим электродом, а напряжение смещения (15—50 В) подавалось на фотокатод. В таком включении паразитная емкость фотоумножителя составляла 23 пФ.

Для усилителя—1 ширина фотопика в спектре Cs^{137} на половине высоты ($R_{1/2}$) составляла 24,5%, или 162 кэВ для NaJ(Tl) размером 40×40 мм. Это соответствует значению $\sigma_{\text{шум}} = 68$ кэВ. Для усилителя—2 при использовании в качестве фотоприемника ФЭУ-139 $R_{1/2} = 27,2\%$, это соответствует $\sigma_{\text{шум}} = 75$ кэВ. При использовании в качестве фотоприемника фотодиода (паразитная емкость ~ 20 пФ) на усилителе—2 было получено значение $R_{1/2} = 20,7\%$, (рис. 5), что соответствует $\sigma_{\text{шум}} = 57$ кэВ.

Рис. 6 иллюстрирует возможности использования описанных усилителей для решения задач физики высоких энергий. На нем приведен спектр потерь энергий космических частиц, выделенных телескопом сцинтилляционных счетчиков размером 100×100×5 мм, в сцинтилляторе NaJ(Tl) размером 100×50×300 мм. Фотоприемником служит ФЭУ-139, включенный указанным выше способом. Предусилителем служила зарядочувствительная секция усилителя—1. Спектр был снят при $\tau_d = 0,7$ мкс, $\tau_u = 3,7$ мкс.

В дальнейшем схема включения фотоприемников была изменена: выходные сигналы снимались с динода (при использовании ФЭУ—с первого, остальные диноды оставались свободными). На фокусирующий электрод через делитель с сопротивлениями ~ 1

ГОм подавался потенциал, примерно равный половине напряжения смещения. Эти меры позволили снизить паразитную емкость фотоприемников до величины ~ 8 пФ и при напряжении смещения $\gtrsim 100$ В обеспечить практически полный сбор фотоэлектронов на динод.

В этих условиях при измерении спектра Cs^{137} кристаллом NaJ(Tl) размером 40×40 мм с усилителем—1 были получены следующие значения амплитудного разрешения: для фотоприемника ФЭУ-139 $R_{1/2} = 12\%$ (рис. 7), для фотодиода $R_{1/2} = 12,4\%$ (спектр практически совпадает с изображенным на рис. 7). Соответствующие значения $\sigma_{\text{шум}}$ составляют 25,6 и 26,2 кэВ.

Полученные результаты показывают, что разработанные усилители могут быть успешно использованы в сцинтилляционных детекторах с небольшим светосбором, или с меньшим, чем у NaJ(Tl), световым выходом. Это иллюстрируется рис. 8, где представлен спектр, полученный при облучении монокристалла BGO фотонами Co^{60} , и рис. 9 со спектром потерь энергий космических частиц в BGO, расположенным горизонтально (без использования телескопа). В качестве фотоприемника использовался ФЭУ-139, подключенный фотодиодом к усилителю—1.

Примером традиционного использования одного из экземпляров усилителя—1 в спектрометрическом тракте с неохлажденным ППД (HgJ_2 отечественного производства) служит спектр Am^{241} (рис. 10а) с пиком от калибровочного генератора. При отключенном детекторе ширина пика генератора составляет 1,0 кэВ (рис. 10б). Измерения спектра проводились на анализаторе LP4900 при постоянной формирования $\tau_0 = 4$ мкс.

Заключение

Можно утверждать, что разработанные усилители в разных модификациях могут найти применение в сцинтилляционных спектрометрах при замене фотоумножителей вакуумными фотодиодами. Это позволит значительно сократить габариты детекторов, что особенно важно при построении многоканальных детекторных систем, существенно снизить требования к магнитному экранированию счетчиков и исключить потребность в стабилизированных высоковольтных источниках питания.

В случае использования сцинтилляционных монокристаллов NaJ(Tl) небольших размеров (40×40 мм) было получено разрешение фотопика в спектре Cs^{137} , равное 12,1%, что соответствует энергетическому эквиваленту шумов с $\sigma_{шум} = 25,6$ кэВ. Такое значение $\sigma_{шум}$ позволяет использовать разработанные ЗЧУ с монокристаллами с небольшим световым выходом, в частности с BGO, применение которых в настоящее время является весьма перспективным для решения ряда задач физики высоких энергий. Временные характеристики описанных ЗЧУ ($\tau_{фр} \sim 7$ нс) позволяют применять их в условиях больших загрузок (до 10^6 с $^{-1}$) для формирования быстрого триггера в многоканальных детекторах, используемых в физике высоких энергий.

Применение ЗЧУ в полупроводниковых спектрометрах рентгеновского излучения, работающих при комнатной температуре, обеспечивает получение разрешающей способности порядка единицы кэВ при энергии излучения до 100 кэВ.

В заключение авторы выражают благодарность С.И. Середнякову и В.П. Смахтину за участие в обсуждении, постановке задачи и помошь в работе.

Литература

1. Blanar G. a. o. Photodiode readout of BGO and NaJ(Tl).—Pre-proceedings of Int. Conf. on Instrumentation for Colliding Beam Physics. Feb. 17-23, 1982, Slac, California.
2. Бару С.Е. и др. «Детектор МД-1». Препринт ИЯФ № 83-39.
3. Аульченко В.М. и др. «Нейтральный детектор». Препринт ИЯФ № 82-142.
4. Балдин С.А. и др. ПТЭ, № 2, 1975, с. 135.
5. Андорт К. и др. Препринт ОИЯИ, РИЗ-7125, Дубна, 1973.
6. Нетцер И. (перев.) ТИИЭР, т. 69, № 5, 1981, с. 58.

Подписи к рисункам

- Рис.1. Принципиальная схема зарядочувствительной секции усилителя—1.
- Рис.2. Принципиальная схема усилителя—2.
- Рис.3. Зависимость $\sigma_{шум}$ [ед. е] и $\tau_{фр}$ [н.с.] от емкости на входе ($C_{вх}$) усилителя—1:
 1— $\sigma_{шум}(C_{вх})$ при $C_1 = 0,52$ пф;
 2— $\sigma_{шум}(C_{вх})$ при $C_1 = 1,06$ пф;
 3— $\tau_{фр}(C_{вх})$ при $C_1 = 0,52$ пф;
 4— $\tau_{фр}(C_{вх})$ при $C_1 = 1,06$ пф;
- Рис.4. Зависимость $\sigma_{шум}$ и $\tau_{фр}$ от емкости на входе усилителя—2:
 1— $\sigma_{шум}(C_{вх})$ при $C_f = 1$ пф (модификация ЗЧУ—2а);
 2— $\sigma_{шум}(C_{вх})$ при $C_f = 2$ пф (модификация ЗЧУ—2б);
 3— $\tau_{фр}(C_{вх})$ при $C_f = 1$ пф (модификация ЗЧУ—2а);
 4— $\tau_{фр}(C_{вх})$ при $C_f = 2$ пф (модификация ЗЧУ—2б);
 5— $\tau_{фр}(C_{вх})$ при $C_f = 1$ пф (модификация ЗЧУ—2б);
- Рис.5. Спектр s^{137} , полученный с усилителем—2. В качестве фотоприемника применен фотодиод. Паразитная емкость на входе усилителя ~ 20 пф.
- Рис.6. Спектр потерь энергии космических частиц в кристалле NaJ(Tl) толщиной 50 мм, измеренный с ЗЧУ—1. На рисунке также представлены геометрические размеры телескопа, выделяющего угловое распределение детектируемых частиц.
- Рис.7. Спектр Cs^{137} , измеренный с усилителем—1 при паразитной емкости на входе ~ 8 пф. Значение $R_{1/2}$ составляет 12,1%. Сцинтиллятор—NaJ(Tl) 40×40 мм.
- Рис.8. Спектры o^{60} и шумов, измеренные с усилителем—1 при паразитной емкости на входе ~ 8 пф. Сцинтиллятор—BGO 40×5 мм.
- Рис.9. Спектр потерь энергии космических частиц в монокристалле BGO толщиной 5 мм, полученный с ЗЧУ—1.
- Рис.10. а) Спектр Am^{241} , полученный с неохлажденным ППД (HgJ_2) и усилителем—1;
 б) Спектр сигналов от калибровочного генератора при отключенном ППД.

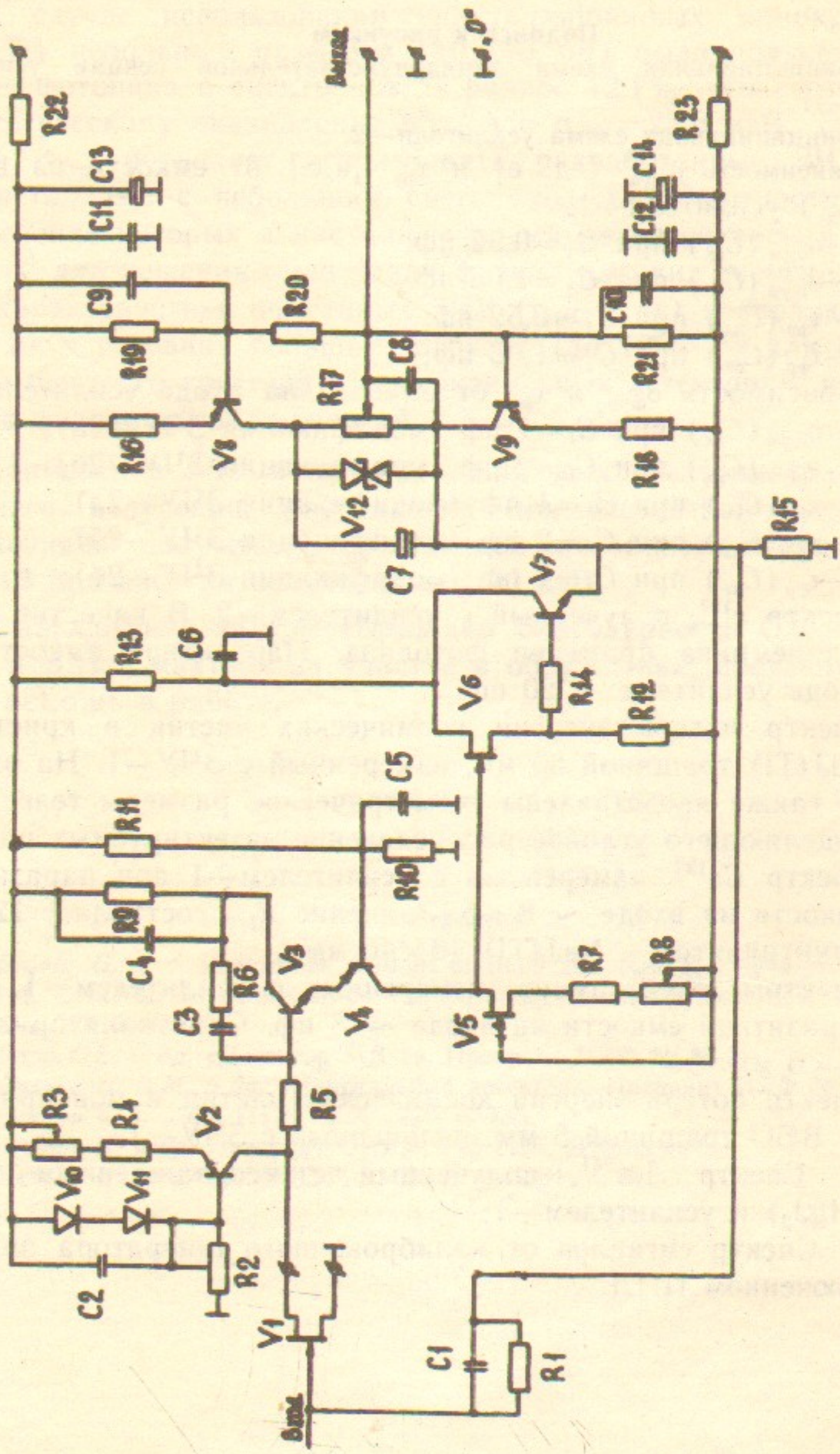


Рис.1

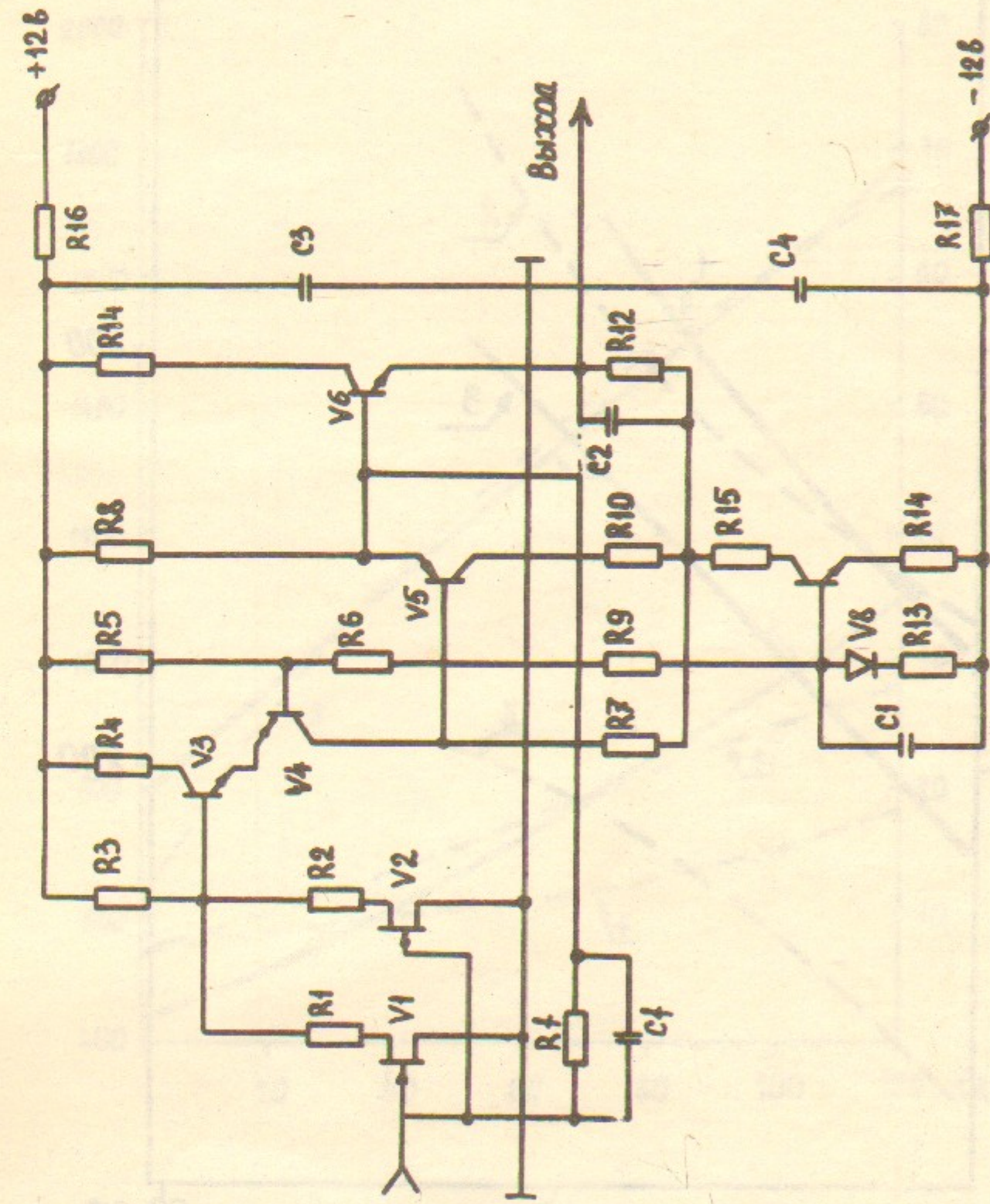


Рис.2

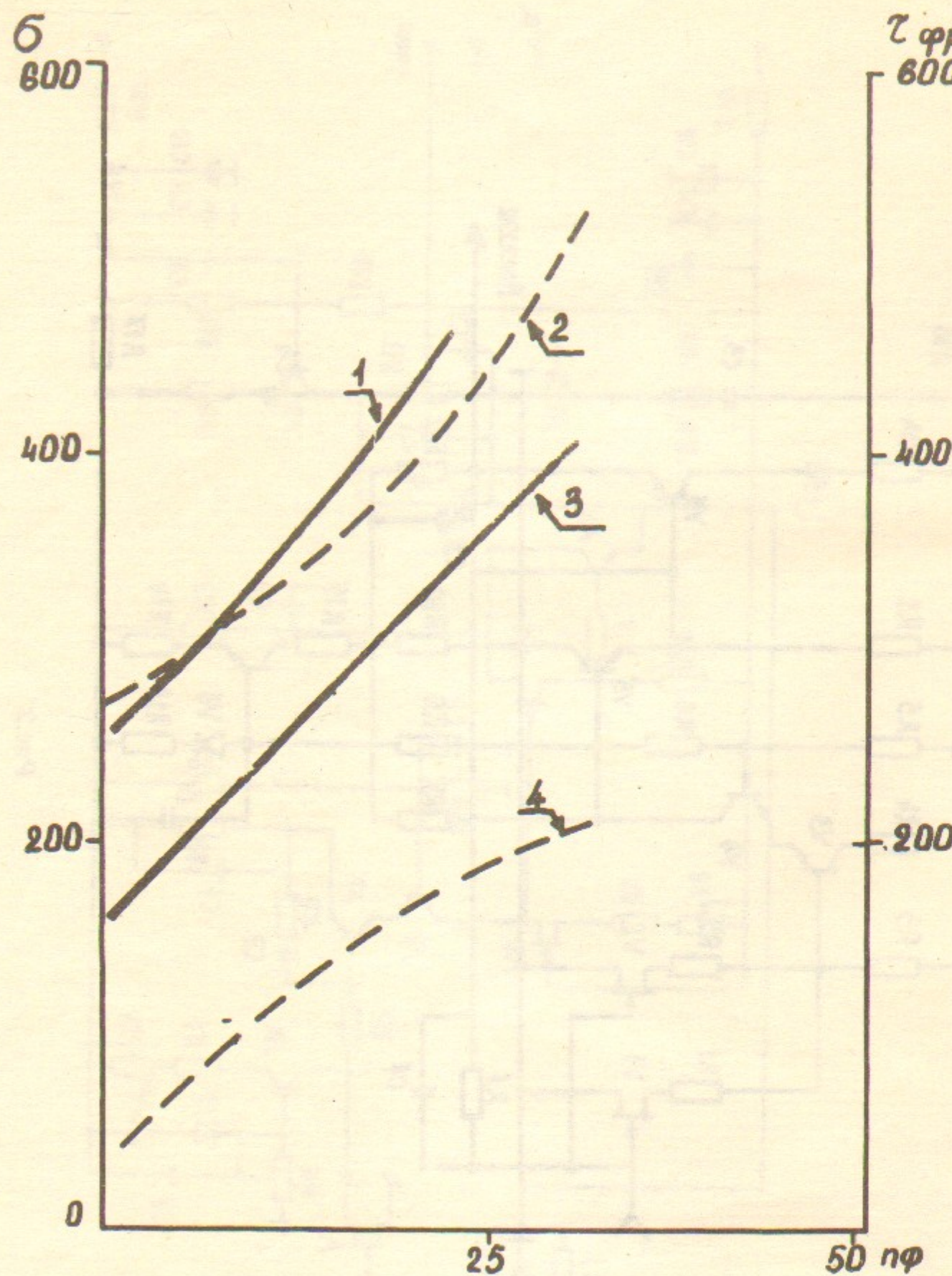


Рис.3

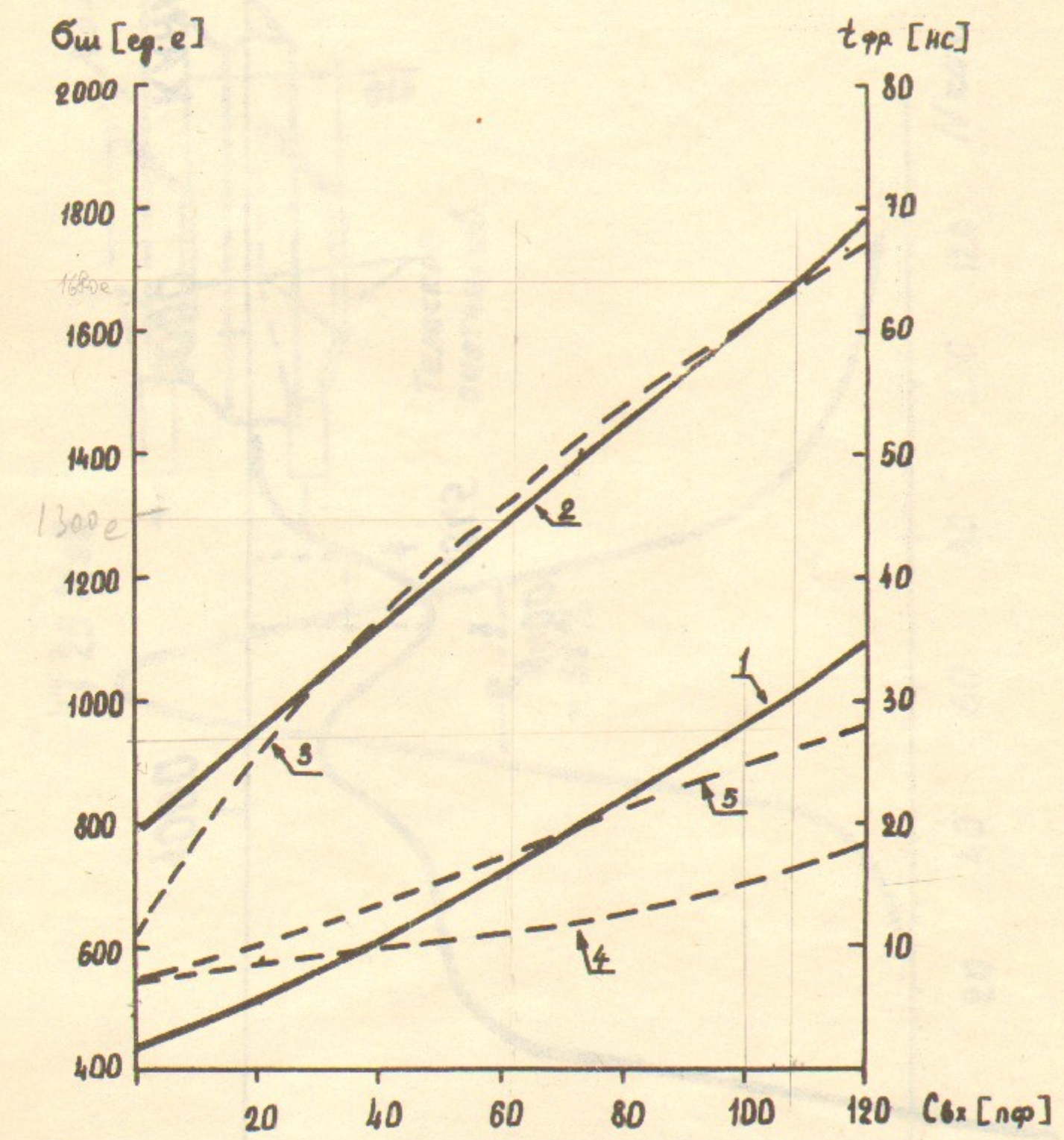


Рис.4

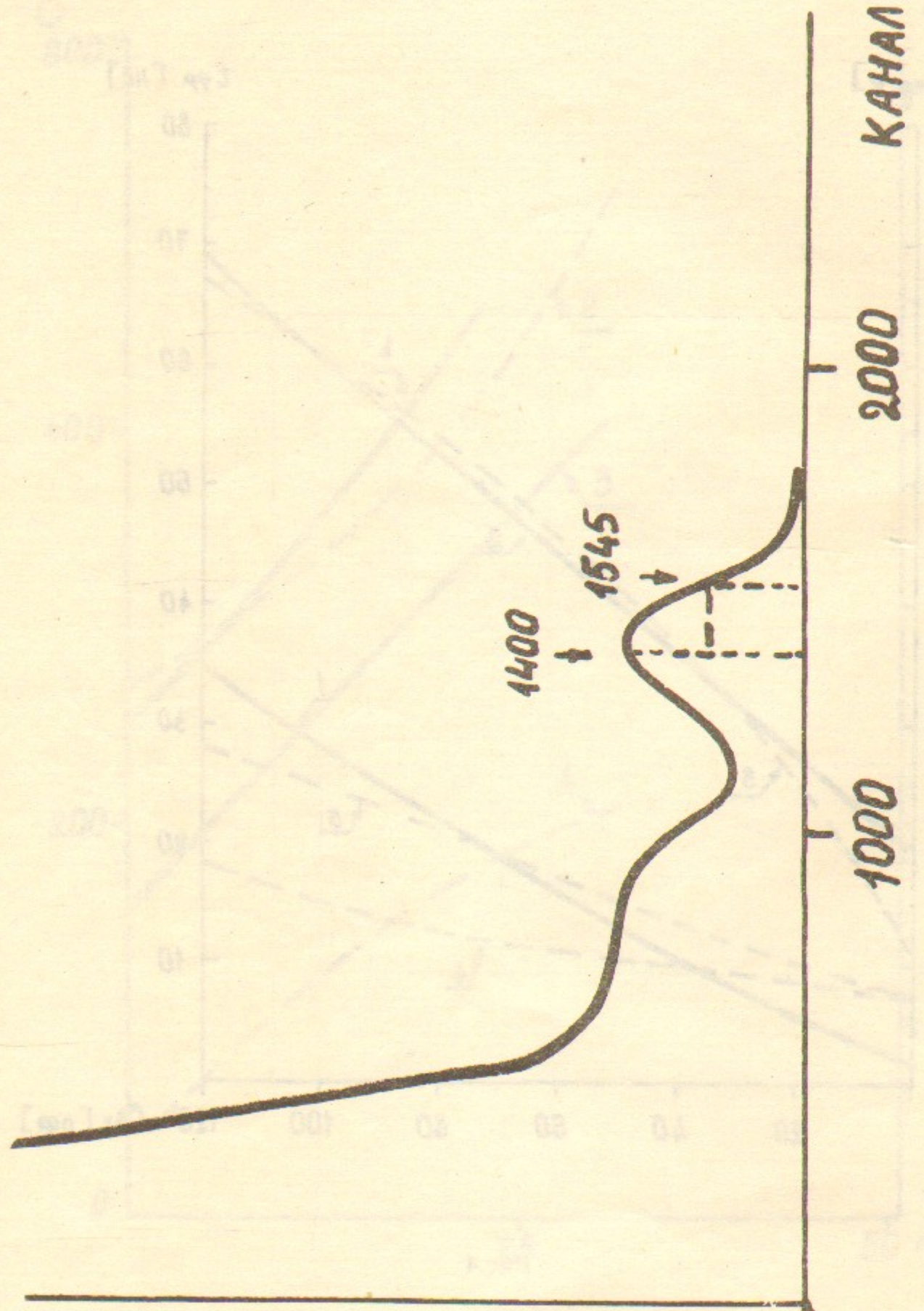


Рис.5

14

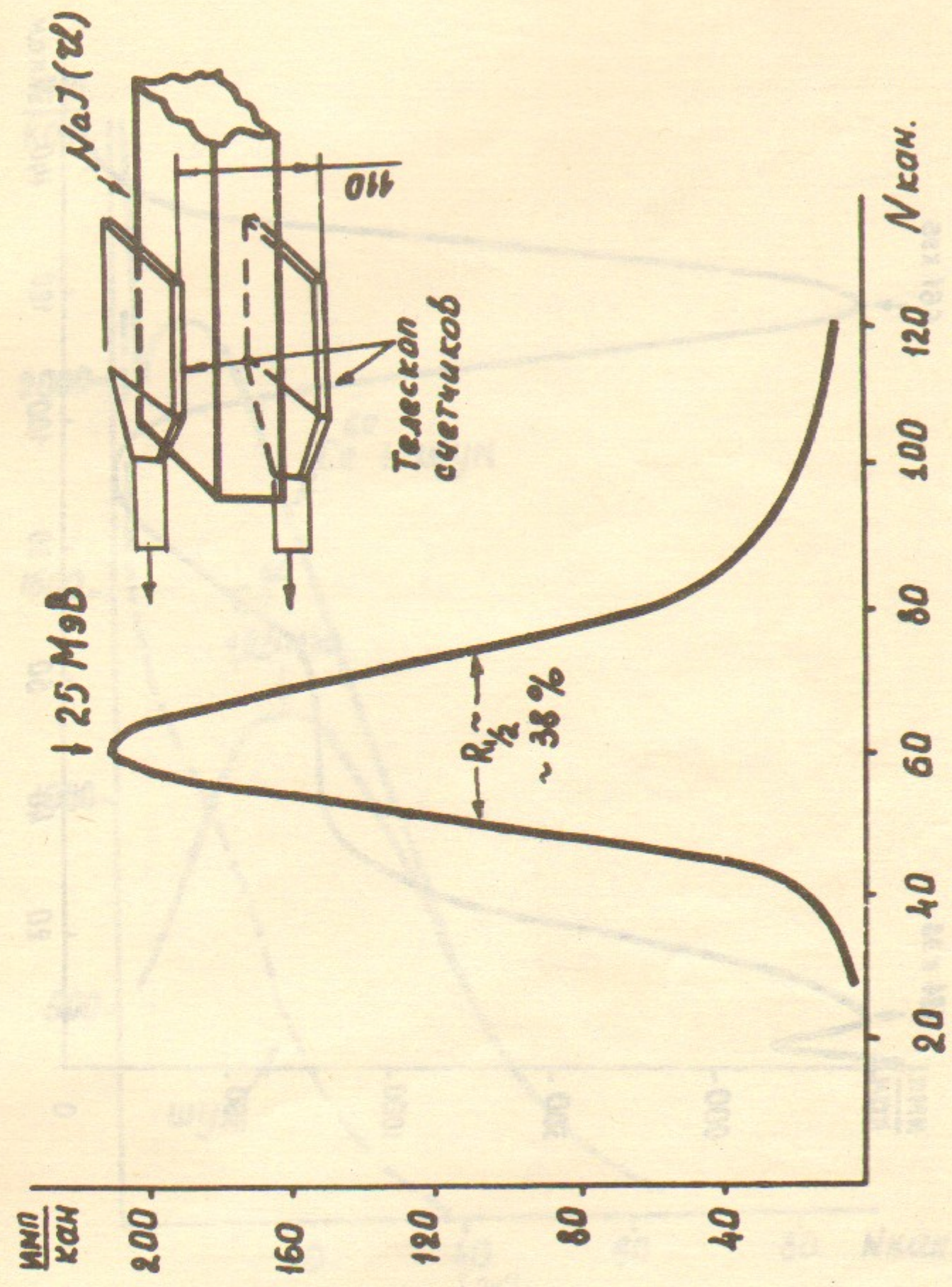


Рис.6

15

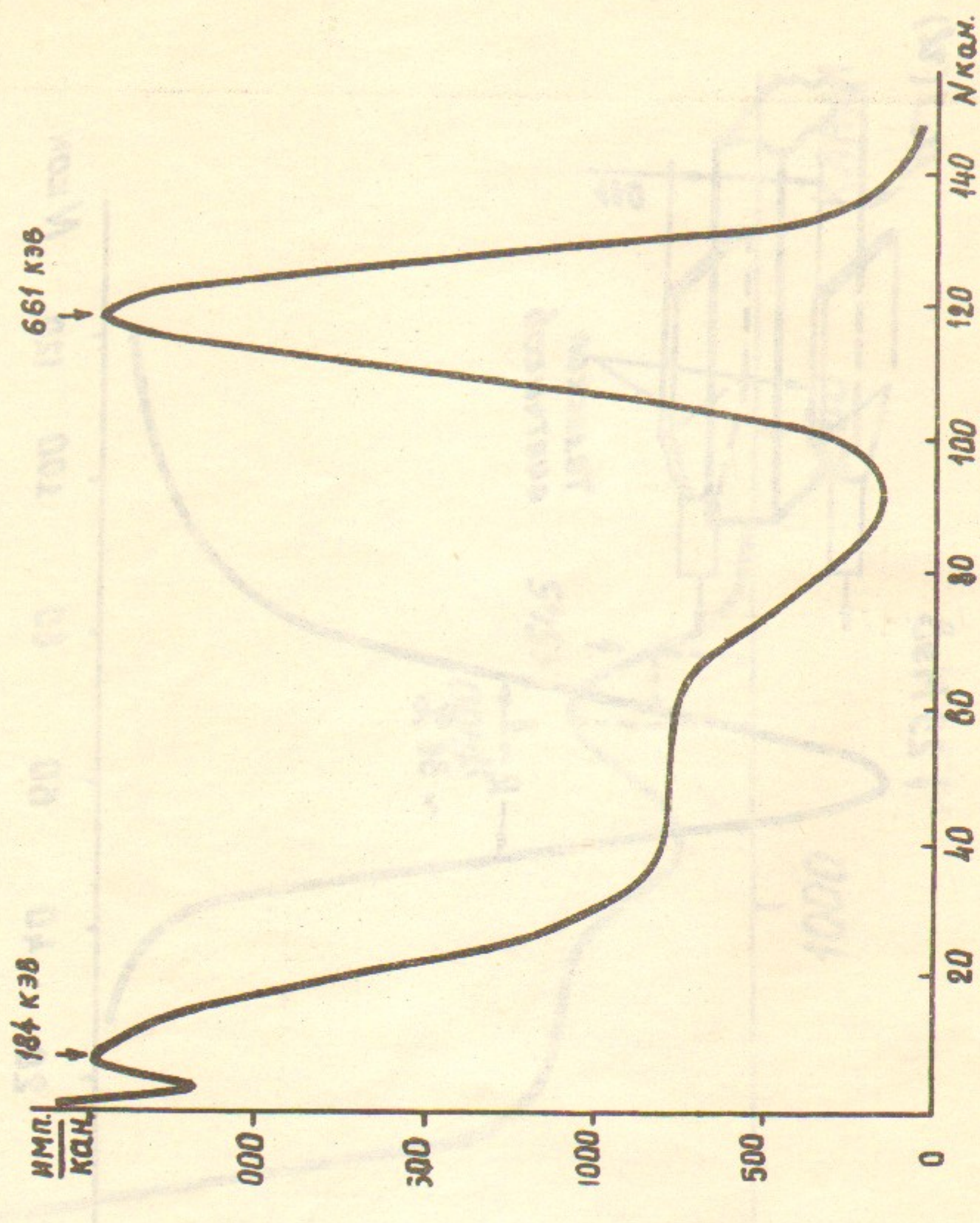


Рис.7

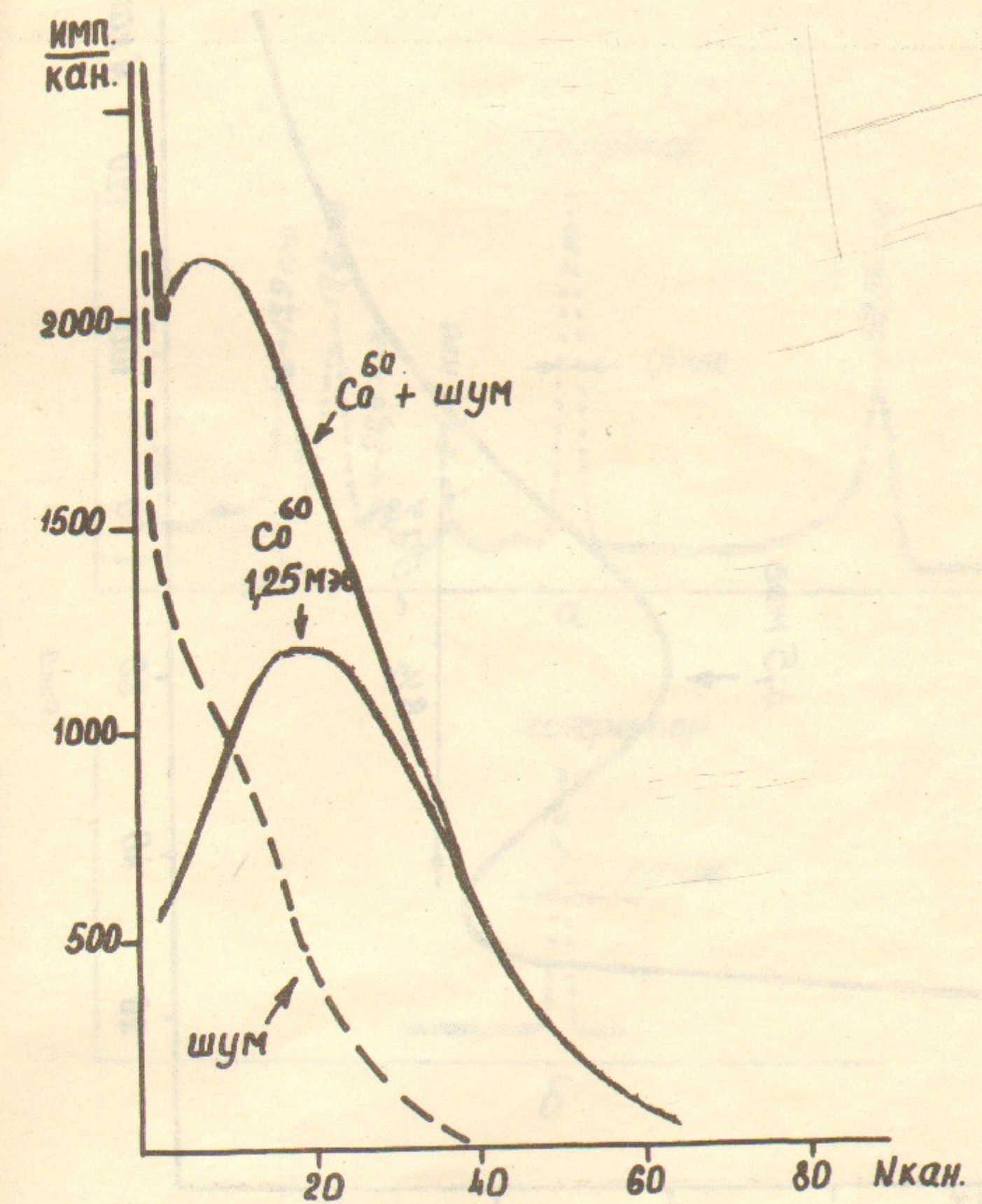


Рис.8

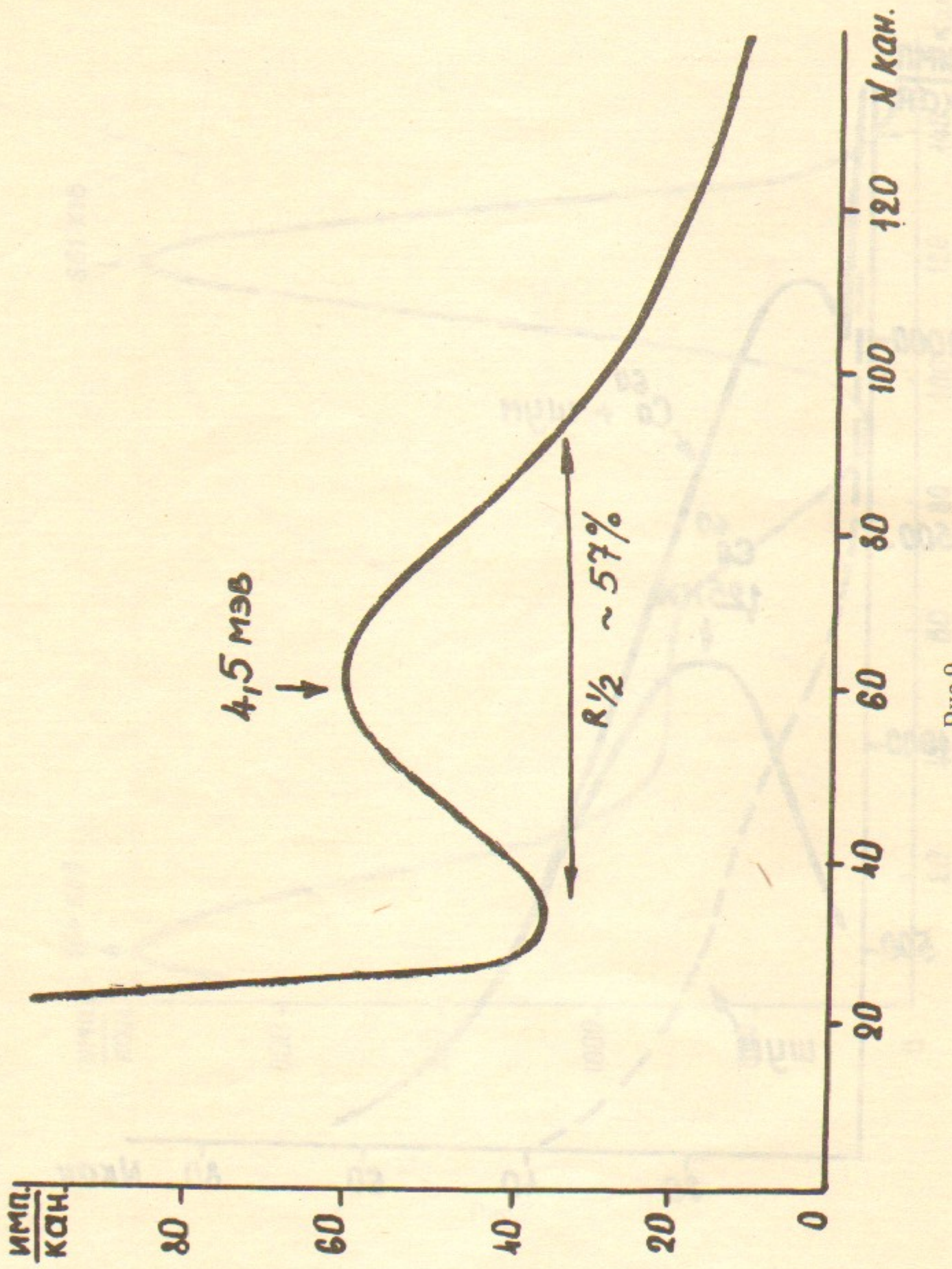


Рис.9

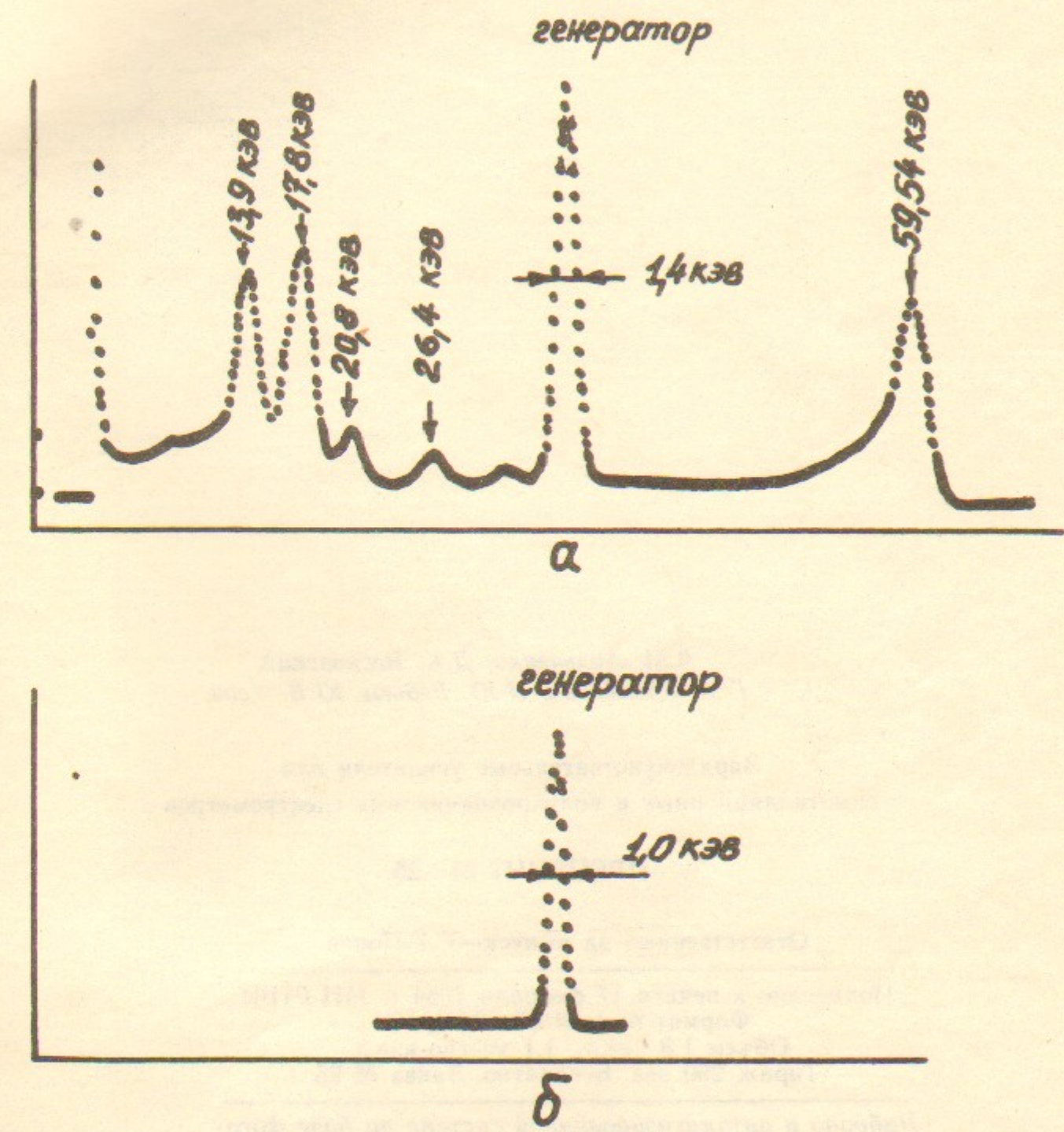


Рис.10

*В.М. Аульченко, Д.К. Весновский,
Г.М. Казакевич, И.Ю. Редько, Ю.В. Усов.*

Зарядочувствительные усилители для
сцинтилляционных и полупроводниковых спектрометров

ПРЕПРИНТ 84—25

Ответственный за выпуск—С.Г.Попов

Подписано к печати 17 февраля 1984 г. МН 04102

Формат бумаги 60×90 1/16.

Объем 1,3 печ.л., 1,1 учетно-изд.л.

Тираж 290 экз. Бесплатно. Заказ № 25

*Набрано в автоматизированной системе на базе фото-
наборного автомата ФА-1000 и ЭВМ «Электроника» и
отпечатано на ротапринте Института ядерной физики
СО АН СССР,
Новосибирск, 630090, пр. академика Лаврентьева, 11*